

Fourier-analyysistä kevyesti

Joseph Fourier (1768 - 1830), Ranska

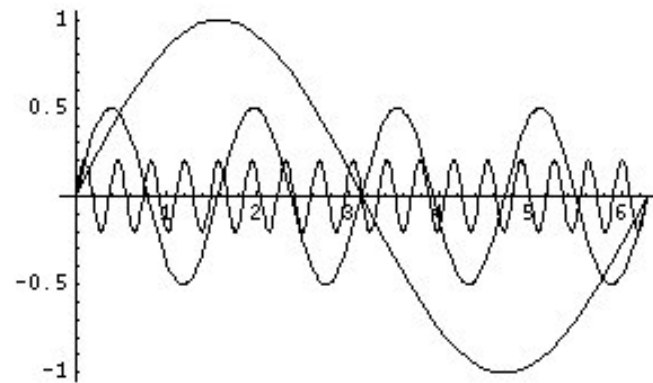
Keksi villin ajatuksen että mikä tahansa funktio voidaan esittää sinifunktioiden/trigonometrinen funktioiden summana.

Keksi myös kasvihuoneilmiön 1824

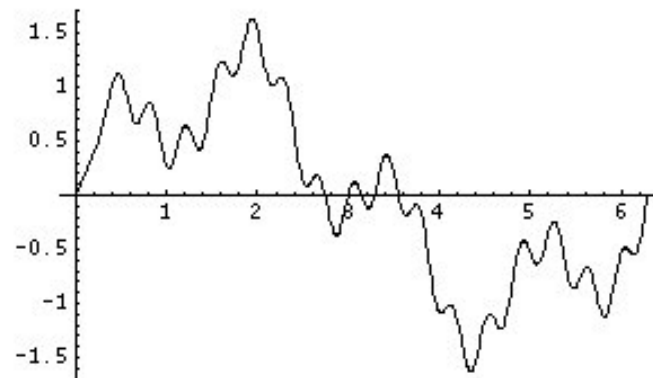


```
In[38]:= f1[x_] := Sin[x]
         f2[x_] :=  $\frac{1}{2}$  Sin[4 x]
         f3[x_] :=  $\frac{1}{5}$  Sin[17 x]
```

```
In[41]:= Plot[{f1[x], f2[x], f3[x]}, {x, 0, 2 Pi}];
```



```
In[42]:= Plot[f1[x] + f2[x] + f3[x], {x, 0, 2 Pi}];
```



Perusajatus:

valitaan perusjoukko, kuten

$\sin(x)$, $\sin(2x)$, $\sin(3x)$, ...

f_1 f_2 f_3

ja etsitään yhdistelmiä

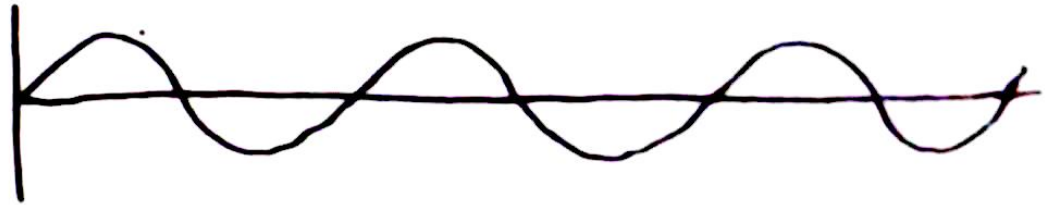
$$f = k_1 f_1 + k_2 f_2 + k_3 f_3 + \dots$$

2 (tai 3) muuttua...

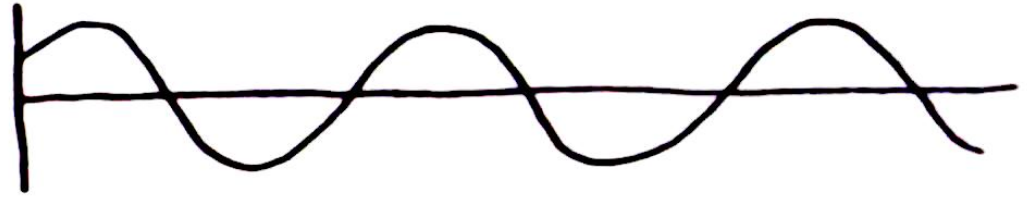
Mutta 7

3

$$\sin(nx)$$



$$\sin(nx + s)$$



Parhaiten funktion sopiva aalto
ei välttämättä ole 0-vaiheessa.

Perusjoukko v2.0

4

$$f = k_0 + k_1 \sin(x + s_1) + k_2 \sin(2x + s_2) + \dots$$

$$\uparrow$$
$$\text{vakio} = \bar{f}$$

Eli f :n voi kuvata kertoimilla

$$k_0, k_1, k_2, k_3, \dots$$

$$s_1, s_2, s_3, \dots$$

Lisäksi osoittautuu että varianssilla
on erittäin näppärä ominaisuus:

$$f = k_0 + k_1 \sin(x + s_1) + k_2 \sin(2x + s_2) + k_3 \sin(3x + s_3) + \dots$$

$$\overline{f^2} = \frac{1}{2} (k_1^2 + k_2^2 + k_3^2 + \dots)$$

(Huom. tämä ei ole ollenkaan päivänselvä)

Koska $\overline{\sin(nx) \sin(nx)} = \frac{1}{2}$

ja $\overline{\sin(nx) \sin(mx)} = 0$ kun $n \neq m$

Mutta 2

6

Kivikaudella oli työlästä etsi kertoimia k ja s muodolle $k \sin(nx + s)$.

$$\begin{aligned} \sin(nx + s) &= \sin(n(x + x_0)) & nx_0 = s \\ &= \sin(nx + nx_0) \end{aligned}$$

$$\left[\sin(x + y) = \sin x \cos y + \sin y \cos x \right]$$

$$= [\cos nx_0] \sin nx + [\sin nx_0] \cos nx$$

Perusjoukko v3.0

7

$$f = k_1 + \frac{g_1 \sin x}{h_1 \cos x} + \frac{g_2 \sin 2x}{h_2 \cos 2x} + \dots$$

lisäksi pätee, vs. aikaisempi muoto, e Hz

$$k_n^2 = g_n^2 + h_n^2$$

Koska muodosta $[\cos nx_0] \sin nx + [\sin nx_0] \cos nx$

$$[\cos nx_0]^2 + [\sin nx_0]^2 = 1$$

Tässä muodossa, eli sini-cosini-8
sarjana, Fourier-kertoiminen etsiminen
on (laskennallisesti) helppoa, sillä
perusjoukko muodostaa (kaikkien
mahdollisten aikasarjojen avaruuteen)
ortogonaalisen (suorakulmaisen) kannan,
ja kertoimet voidaan laskea projisoimalla,
eli vektorien (aikasarjojen) sisätuloina.

Sama pidemmän selitettynä:

9

2D - avaruus

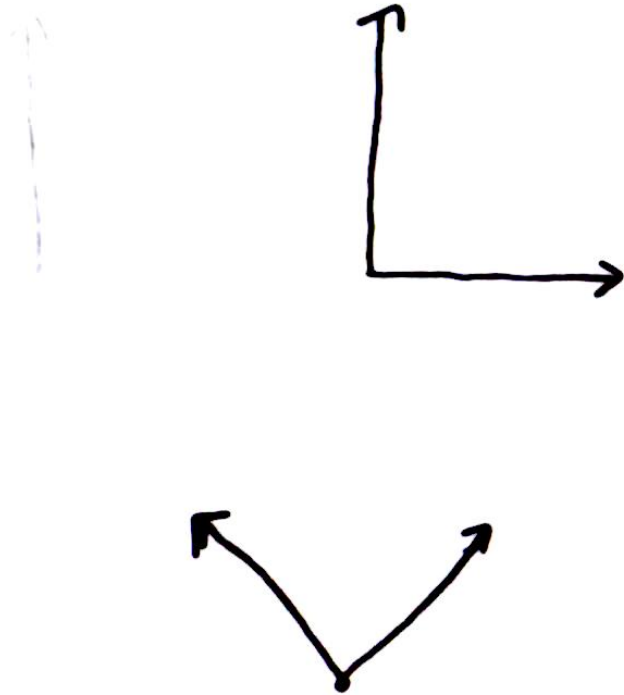
kantavektorit

$$\hat{e}_1 = (1, 0)$$

$$\hat{e}_2 = (0, 1)$$

kannan kierto 45° ,

$$\hat{e}_1 = \left(\frac{1}{\sqrt{2}}, \frac{1}{\sqrt{2}} \right) \quad \hat{e}_2 = \left(\frac{1}{\sqrt{2}}, -\frac{1}{\sqrt{2}} \right)$$



Jos f on 2 pisteen aikasarja,

10

$$f = (x_1, x_2)$$

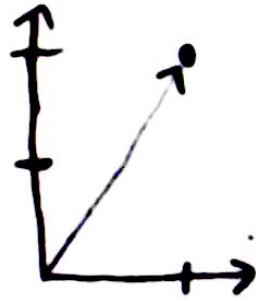
voidaan f esittää muissakin kuin

$$\hat{e}_1 = (1, 0)$$

$$\hat{e}_2 = (0, 1)$$

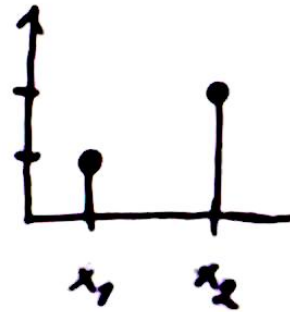
koordinaatistoissa.

$$f = (1, 2)$$



vektoriina

"



aikasarjana

$$f = (1, 2)$$

$$f = 1 \hat{e}_1 + 2 \hat{e}_2 \quad \text{jos}$$

$$\hat{e}_1 = (1, 0)$$

$$\hat{e}_2 = (0, 1)$$

$$\text{Jos taas } \hat{e}_1 = \left(\frac{1}{\sqrt{2}}, \frac{1}{\sqrt{2}} \right)$$

$$\hat{e}_2 = \left(\frac{1}{\sqrt{2}}, -\frac{1}{\sqrt{2}} \right)$$

$$f = \frac{3}{\sqrt{2}} \hat{e}_1 - \frac{1}{\sqrt{2}} \hat{e}_2$$

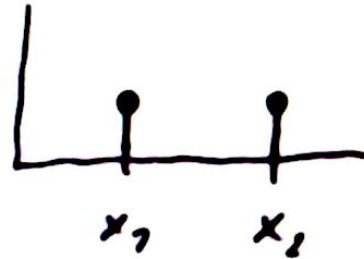
Samalla lailla n näytteen aikasarja
ajatellaan vektorina n -ulotteisessa
avaruudessa $t = (x_1, x_2, \dots, x_n)$

Ja se voidaan esittää myös toisenlaisten
kointa vektorien avulla.

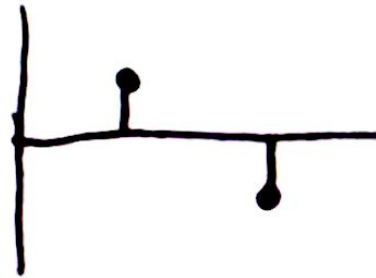
Kyseessä on vain moniulotteisen
koordinaatiston kiertä.

2D - t2 punksessä

$$\vec{e}_1 = \left(\frac{1}{\sqrt{2}}, \frac{1}{\sqrt{2}} \right)$$

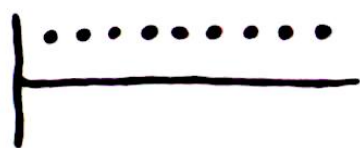


$$\vec{e}_2 = \left(\frac{1}{\sqrt{2}}, -\frac{1}{\sqrt{2}} \right)$$

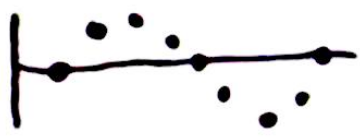


9D - tapalus

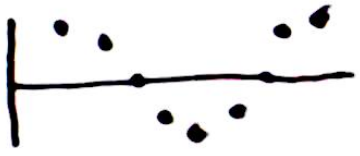
7



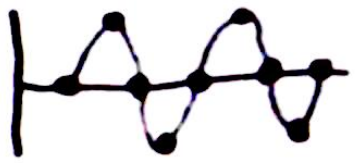
$\sin x$



$\cos x$



$\sin 2x$



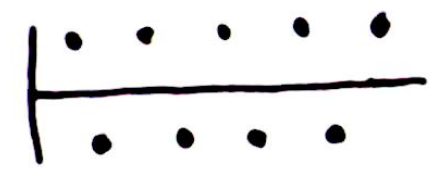
$\cos 2x$

$\sin 3x$

$\cos 3x$

$\sin 4x$

$\cos 4x$



$$f = k_1 \hat{e}_1 + k_2 \hat{e}_2 + k_3 \hat{e}_3 + \dots$$

Kantavektorien sisätuloille pitäisi päteä

$$\langle \hat{e}_n | \hat{e}_n \rangle = 1$$

$$\langle \hat{e}_n | \hat{e}_m \rangle = 0, \quad n \neq m$$

Fourier-kertoimet voidaan laskea:

$$k_1 = \langle f | \hat{e}_1 \rangle$$

$$\vdots$$

$$k_n = \langle f | \hat{e}_n \rangle$$

$$\hat{e}_m = (e_1, e_2, e_3, \dots, e_n)$$

(tai sillon 0 ... n-1)

$$f = (f_1, f_2, f_3, \dots, f_n)$$

$$k_m = \langle f | \hat{e}_m \rangle = \sum_{l=1}^n e_{ml} f_l$$

Käänteismuunnos

$$f = k_1 \hat{e}_1 + k_2 \hat{e}_2 + k_3 \hat{e}_3 + \dots$$

$$f_{\ell} = (k_1 \hat{e}_1)_{\ell} + (k_2 \hat{e}_2)_{\ell} + (k_3 \hat{e}_3)_{\ell} + \dots$$

$$= k_1 (\hat{e}_1)_{\ell} + k_2 (\hat{e}_2)_{\ell} + k_3 (\hat{e}_3)_{\ell} + \dots$$

$$f_{\ell} = \sum_{i=1}^n k_i (\hat{e}_i)_{\ell}$$

Mutta 3

19

Sini-cosini-sarjat on hyvä tapa ajatella
taajuuksia, mutta käytännössä

Fourier-muunnos lasketaan kompleksii-
eksponenttien avulla

Eulerin kaava

$$e^{ix} = \cos x + i \sin x$$

Kantavektorijoukko v 4.0

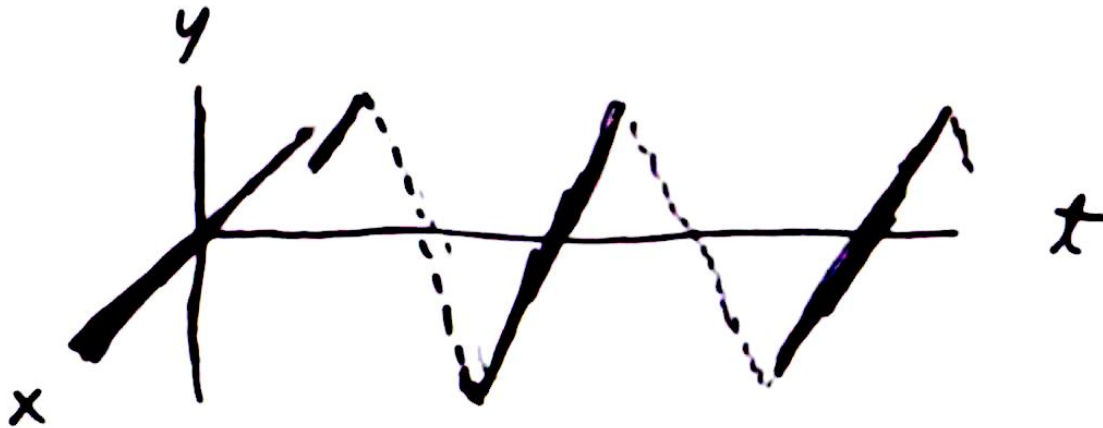
20

$$l = 0, \dots, n-1$$

n näytteen tapaus, eli
 n -ulotteinen

$$\hat{e}_l(t) = \exp\left(-2\pi i \frac{lt}{n}\right) \leftarrow + \text{normalisointi!}$$

i :tä ei voi käyttää indeksinä, se on imaginääriyksikkö



$$k = \frac{2\pi}{\lambda},$$

$$\hat{e}_0(t) = e^0 = (1, 1, 1, \dots)$$

$$\hat{e}_1(t) = e^{-ikx}$$



$$\hat{e}_2(t) = e^{-ik2x}$$



$$\hat{e}_3(t) = e^{-ik3x}$$



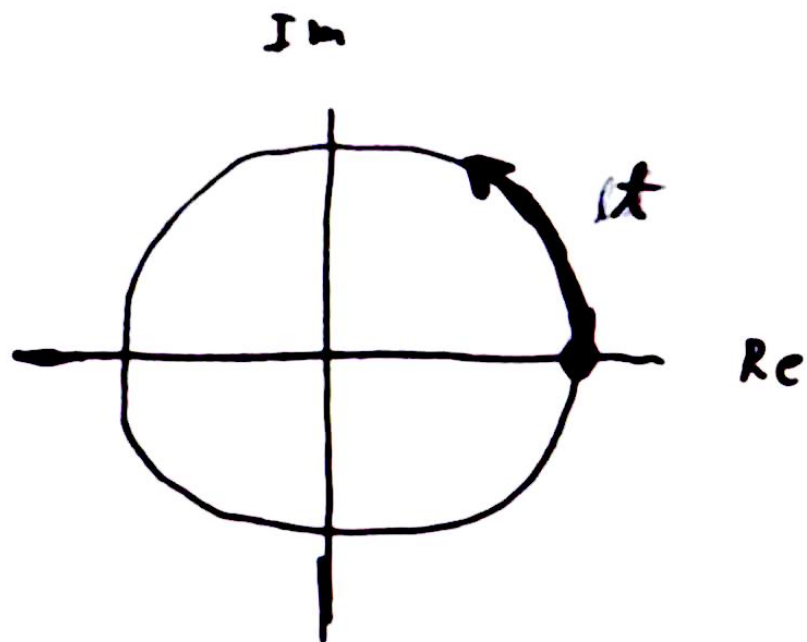
ine.

e^{-it}

esi tellynā kompleksitasossa

yksikköympyrällä

"kello taulu na

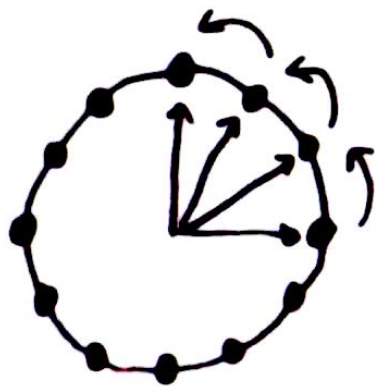


Jos n näytettä, astelehen pituus $\frac{2\pi}{n}$

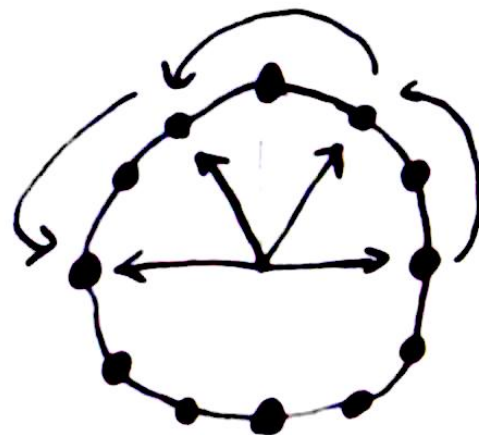
Esim. $n = 12$



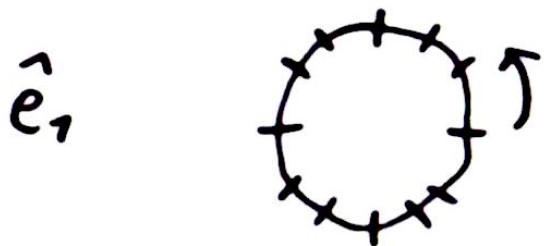
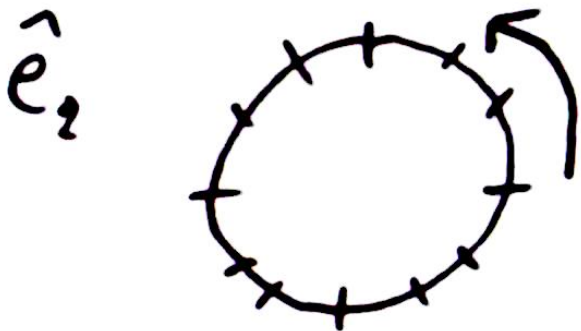
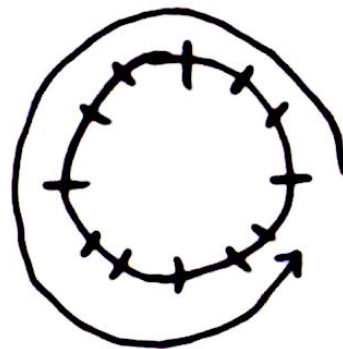
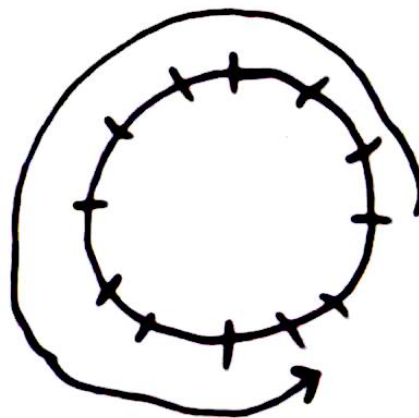
\hat{e}_1



\hat{e}_2



Eri tyisesti huomataan että

 \hat{e}_{n-1}  \hat{e}_{n-2} 

Yleensä merkitään että F on f in
Fourier -muunnos.

$$F = (F_0, F_1, F_2, \dots, F_{n-2}, F_{n-1})$$

Jos f oli reaalinen,

$$F_0 = \bar{f}$$

$$F_l = F_{n-l}^*$$

kompleksi konjugaatti

Saadaksi:

$$F_0 = a_0$$

$$F_1 = a_1 - i b_1$$

$$F_2 = a_2 - i b_2$$

$$\vdots$$

$$F_{n-1} = a_{n-1} + i b_{n-1}$$

$$F_{n-2} = a_{n-2} + i b_{n-2}$$

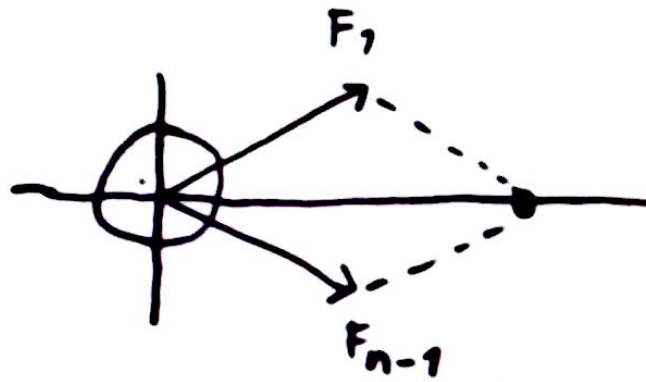
$$\vdots$$

El: kertoimet a_0, a_1, a_2, \dots

b_1, b_2, \dots

ihän kuin aiemmin sivulla 4 ja 7.

Taajuuksien ω energia
 on jatkuvasti
 Fourier-kerrotimein



F_l ja F_{n-l}

$$|F_l|^2 = F_l F_l^* = F_l F_{n-l} = (a_l - ib_l)(a_l + ib_l)$$

$$= a_l^2 + b_l^2$$

Vielä helpommin vaihekulmaesityksestä

$$F_l = k_l e^{-i\theta_l} \quad |F_l|^2 = k_l^2$$

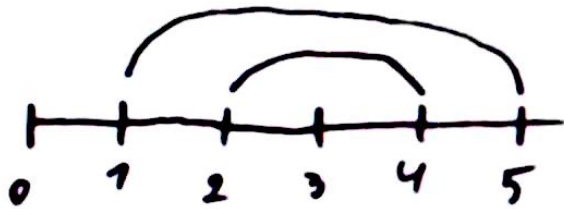
Joten energia spektri funktio

$$E(0) = |F_0|^2 \quad \text{kestittuuli}$$

$$E(1) = 2|F_2|^2$$

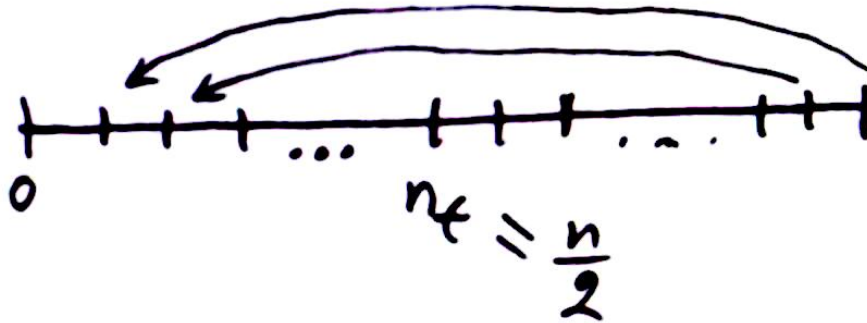
lisäksi

$$E\left(\frac{n}{2}\right) = |F_{n/2}|^2 \quad \text{jos } n \text{ parillinen}$$



$$n=6$$

"Taituminen"



$\frac{n}{2}$:ta suuremmat termit kuvaavatkin
alempia taajuuksia

n_f Nyquistin taajuus

Jos aikasarjassa on u, v, w tai
 vaikka $|V| = |(u, v, w)|$

kertoo Fourier-muunnos (siitä lasketaan
 energiaspektri) varianssin, kuten $\overline{w'^2}$,
 jakautumisen eri taajuuksille.

Lisäksi: taajuus \sim pyörteiden koko

$$\overline{w'^2} \sim TKE$$

Kolmogorovin samankaisusteoria

31

aaltoluku $k = \frac{h}{2\pi U}$ ← näyteli sekunnissa
kestitunti ← (2π pois)

[TKE-spektri] $\Phi(k) \sim \epsilon^{2/3} k^{-5/3}$

$$[TKE] = \frac{m^2}{s^2} \quad [\epsilon] = \frac{m^2}{s^3}$$

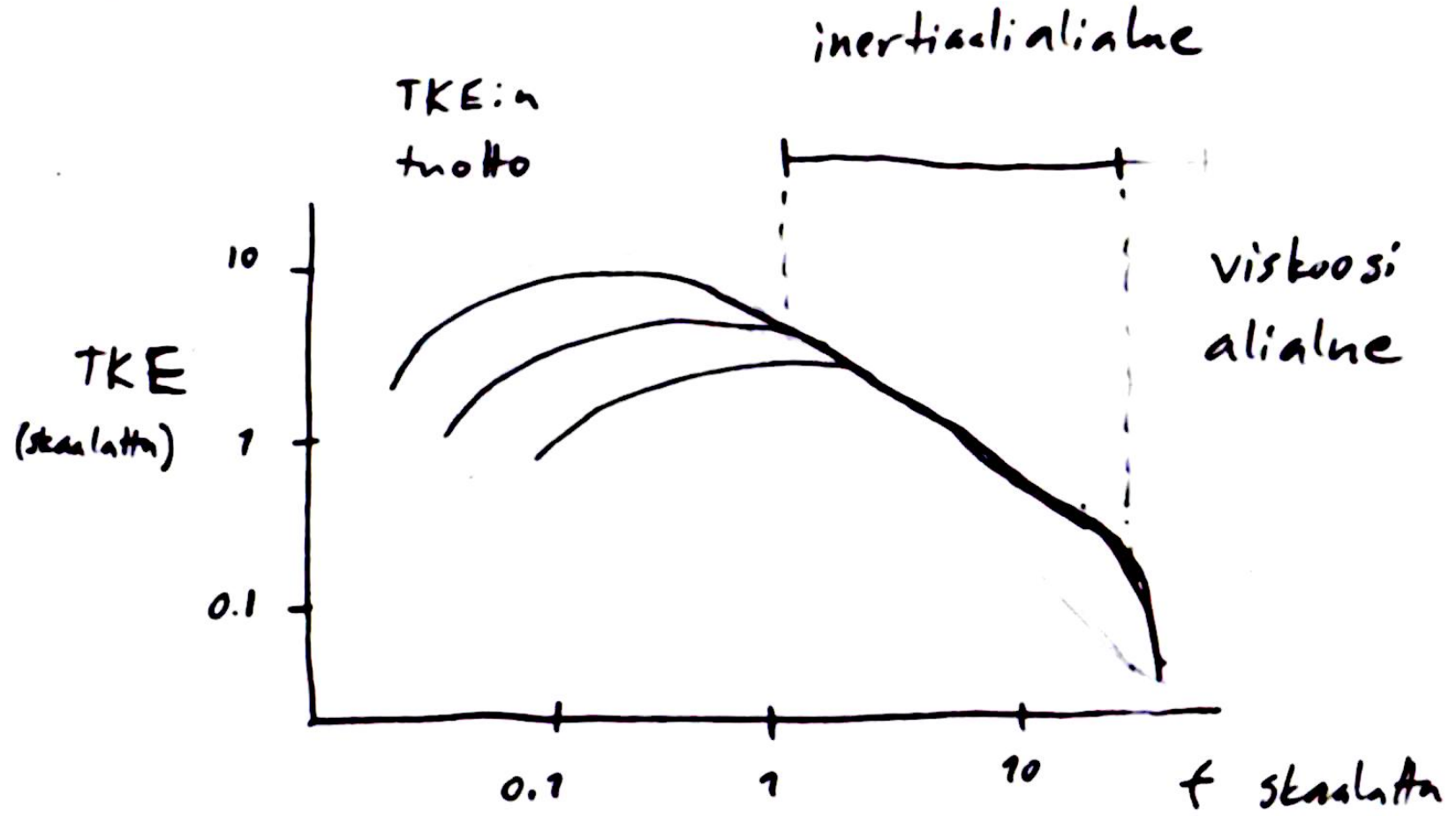
$$[\Phi] = \frac{m^3}{s^2}$$

$$\left(\frac{m^2}{s^3}\right)^{2/3} (m^{-1})^{-5/3} = \frac{m^{4/3}}{s^2} m^{5/3}$$

$$[k] = \frac{1}{m}$$

$$= \frac{m^{9/3}}{s^2} = \frac{m^3}{s^2}$$

Energia kaskadi



Paitsi u , tai u' jne. aikasarjoille,
 myös aikasarjoille $w'u'$, $w'\theta'$ jne.
 voidaan tehdä Fourier/spektrianalyysiä.

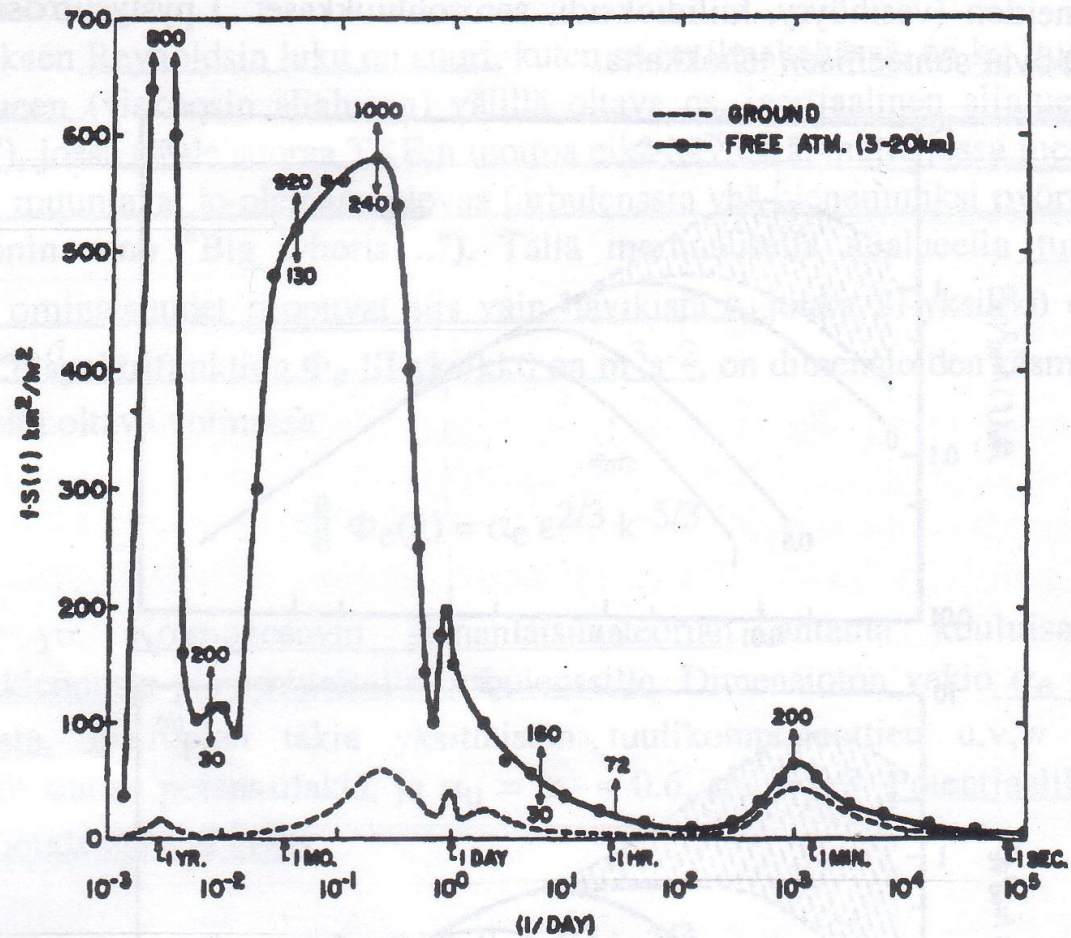
Tällöin spektrin energia ei ole oikeaa,
 yksi kantista, energiaa.

$w'u'$ isot pyösteet siirtävät
 $w'\theta'$ $w'q'$ pienetkin siirtävät

TKE-yhtälö voidaan kirjoittaa
spektri muodossa

$$TKE(k) = T + S + B + Tr - E$$

↑
kuljetus taajuukselta
toiselle



Kuva 6. Itä-länsisuuntaisen tuulen liike-energian spektri pintakerroksessa (katkoviiva) ja vapaassa ilmakehässä (yhtenäinen viiva) Brookhavenissa mitattuna (Vinnichenko, 1970).

